

УДК 519.85

---

**СУБГРАДИЕНТНЫЕ МЕТОДЫ С ШАГОМ ТИПА  
Б. Т. ПОЛЯКА ДЛЯ ЗАДАЧ МИНИМИЗАЦИИ  
КВАЗИВЫПУКЛЫХ ФУНКЦИЙ С  
ОГРАНИЧЕНИЯМИ-НЕРАВЕНСТВАМИ И АНАЛОГАМИ  
ОСТРОГО МИНИМУМА**

---

ПРЕПРИНТ

**Пучинин Сергей Максимович**  
МФТИ  
Москва, Россия  
[puchinin.sm@phystech.edu](mailto:puchinin.sm@phystech.edu)

**Корольков Егор Романович**  
МФТИ  
Москва, Россия  
[korolkov.er@phystech.edu](mailto:korolkov.er@phystech.edu)

**Стонякин Федор Сергеевич**  
МФТИ  
Москва, Россия  
КФУ им. В. И. Вернадского  
Симферополь, Россия  
[fedyor@mail.ru](mailto:fedyor@mail.ru)

**Алкуса Мохаммад Соуд**  
МФТИ  
Москва, Россия  
[mohammad.alkousa@phystech.edu](mailto:mohammad.alkousa@phystech.edu)

**Выгузов Александр Альбертович**  
МФТИ  
Москва, Россия  
[vyguzov\\_aa@phystech.edu](mailto:vyguzov_aa@phystech.edu)

## 1. Введение

Задачи математического программирования возникают в самых разных приложениях. Одним из хорошо известных подходов к решению задач минимизации функций с ограничениями-неравенствами являются так называемые схемы с переключением между продуктивными и непродуктивными шагами, впервые предложенные Поляком в его работе [Поляк, 1967]. Общая идея подхода заключается в следующем: если в текущей точке значение функции-ограничения достаточно хорошее, то спуск выполняется по целевой функции, а в противном случае — по функции ограничения. Такого типа подходам посвящаются всё новые работы как для выпуклых задач большой и сверхбольшой размерности [Huang, Lin, 2023, Bayandina et al., 2018, Lagae, 2017, Nesterov, 2014], так и для некоторых классов невыпуклых задач [Huang, Lin, 2023].

В данной статье рассмотрены аналоги субградиентных методов такого типа с вариантом шага Б. Т. Поляка с использованием информации о минимальном значении целевой функции  $f^*$ , хорошо известного для задач без ограничений [Поляк, 1969]. Использование такого типа шага для липшицевых задач с острым минимумом позволяет доказать сходимость субградиентного метода со скоростью геометрической прогрессии. При этом важно, что реализация метода не потребует знания параметра

острого минимума. Для других вариантов регулировки шага субградиентного метода такую скорость сходимости оказывается возможным доказать лишь за счёт процедуры рестартов по параметру острого минимума, оценка которого проблематична для многих реально возникающих типов прикладных задач. Стоит отметить, что использование в методах градиентного типа шага Б. Т. Поляка довольно популярно (см., например, [Hazan, Kakade, 2019, Loizou et al., 2021]). Так, совсем недавно предложены и изучены различные современные варианты шага Поляка [Wang et al., 2023, Devanathan, Boyd, 2023, Abdukhakimov et al., 2023].

В статье [Аблаев и др., 2023] для липшицевых задач математического программирования предложены схемы рестартов по параметру «условного» острого минимума, для которых гарантирована сходимость в окрестность точного решения за линейное время как для выпуклых, так и для квазивыпуклых задач. Однако представляется существенным моментом требование знать значение параметра острого минимума для реализации метода. Цель предлагаемой статьи — обойти эту проблему посредством исследования субградиентных схем с переключениями по продуктивным и непродуктивным шагам с вариантом шага Б. Т. Поляка. Однако наличие ограничений-неравенств приводит к нетривиальности вопроса оценки искомого точного минимального значения целевой функции. Более того, это значение может быть большим по сравнению с глобальным минимумом целевой функции на всём пространстве. Поэтому в настоящей статье исследуются аналоги шага Б. Т. Поляка с неточной информацией о минимуме целевой функции и возможность гарантировать сходимость метода со скоростью геометрической прогрессии.

Статья состоит из введения, 4 основных разделов и заключения.

Во втором разделе приводятся основные определения и постановка рассматриваемой задачи, а также некоторые известные прикладные результаты, которые потребуются для анализа предлагаемых в последующих разделах алгоритмов.

В третьем разделе рассматривается аналог острого минимума, а именно  $\varepsilon$ -острый минимум из работы [Стонякин и др., 2023]. Для данного варианта острого минимума предложен алгоритм, гарантирующий линейную скорость сходимости к  $\varepsilon$ -точному решению задачи по функции и по ограничению.

В четвертом разделе рассматривается альтернативный вариант задания острого минимума, содержащий максимум из невязки по функции и значения ограничения [Lin et al., 2020, Аблаев и др., 2023]. Данный подход к острому минимуму не предполагает задания параметра точности  $\varepsilon$ . Это позволяет предложить алгоритм с гарантией линейной скорости сходимости в окрестность множества точных решений, размер которой определяется степенью точности информации о минимальном значении функции. Сходимость к точному решению со скоростью геометрической прогрессии можно гарантировать только при условии доступности информации о точном значении минимума целевой функции, чего не удается доказать в случае использования  $\varepsilon$ -острого минимума.

В пятом разделе приведены результаты численных экспериментов и продемонстрирована эффективность предлагаемых алгоритмов для некоторых конкретных задач. Среди них можно выделить задачу геометрического программирования [Boyd et al., 2007] и задачу проектирования механических конструкций [Nesterov, Shpirko, 2014].

## 2. Постановка задачи и основные теоретические сведения

В работе рассматривается задача минимизации вида

$$f(x) \rightarrow \min_{g(x) \leq 0}, \quad x \in Q, \tag{1}$$

где  $Q \subset \mathbb{R}^n$  — замкнутое выпуклое множество;  $f : Q \rightarrow \mathbb{R}$  — квазивыпуклая функция, удовлетворяющая условию Липшица для некоторой константы  $M_f > 0$  (то есть  $|f(x) - f(y)| \leq M_f \|x - y\|_2$  для любых  $x, y \in Q$ );  $g : Q \rightarrow \mathbb{R}$  —  $\mu$ -слабо выпуклая функция, удовлетворяющая условию Липшица для некоторой константы  $M_g > 0$ .

Напомним, что функция  $g : \mathbb{R}^n \rightarrow \mathbb{R}$  (аналогично и для функций  $g : Q \rightarrow \mathbb{R}$ ) называется  $\mu$ -слабо выпуклой ( $\mu \geq 0$ ), если функция  $x \mapsto g(x) + \frac{\mu}{2} \|x\|_2^2$  выпукла. Для недифференцируемых  $\mu$ -слабо выпуклых функций  $g$  под субдифференциалом  $\partial g(x)$  в точке  $x$  можно понимать (см. [Davis et al., 2018] и цитируемую там литературу) множество всех векторов  $v \in \mathbb{R}^n$ , удовлетворяющих неравенству

$$g(y) \geq g(x) + \langle v, y - x \rangle + o(\|y - x\|_2) \quad \text{при } y \rightarrow x. \tag{2}$$

Известно [Davis et al., 2018], что все векторы-субградиенты  $v \in \mathbb{R}^n$  из (2) автоматически удовлетворяют неравенству

$$g(y) \geq g(x) + \langle v, y - x \rangle - \frac{\mu}{2} \|y - x\|_2^2 \quad \forall x, y \in \mathbb{R}^n, v \in \partial g(x).$$

Можно проверить, что слабо выпуклые функции локально липшицевы, и поэтому в качестве субградиентов можно использовать произвольный вектор из субдифференциала Кларка (см., например, [Дудов, Осиццев, 2021]). Если целевая функция или функция ограничений недифференцируемы в некоторой точке  $x$ , то ввиду сделанного выше предположения об их липшицевости будем считать их субдифференцируемыми по Кларку и под  $\nabla f(x)$  ( $\nabla g(x)$ ) понимать произвольный ненулевой элемент субдифференциала Кларка в данной точке. Если же  $f(g)$  дифференцируемы в обычном смысле, то под  $\nabla f(x)$  ( $\nabla g(x)$ ) будем понимать обычный градиент  $f'(g)$  в точке  $x$ .

**Определение 1** (см. [Нестеров, 1989, п. 1.5]). Функция  $f$ , определенная на выпуклом множестве  $Q \subset \mathbb{R}^n$ , называется квазивыпуклой на этом множестве, если

$$f(\lambda x + (1 - \lambda)y) \leq \max\{f(x), f(y)\} \quad \forall x, y \in Q \quad \forall \lambda \in [0; 1].$$

Будем обозначать через  $f^*$  оптимальное значение целевой функции задачи (1), а через  $X_*$  — множество таких  $x \in Q$ , на которых это значение достигается. Также для произвольных  $x, y \in Q$  введём вспомогательную величину

$$v_f(x, y) := \begin{cases} \left\langle \frac{\nabla f(x)}{\|\nabla f(x)\|_2}, x - y \right\rangle, & \nabla f(x) \neq 0; \\ 0, & \nabla f(x) = 0, \end{cases}$$

и докажем для неё следующую техническую лемму:

**Лемма 1.** Пусть  $f : Q \rightarrow \mathbb{R}$  квазивыпукла и  $M_f$ -липшицева, тогда для любого  $x \in Q$  такого, что  $\nabla f(x) \neq 0$ , выполнено

$$f(x) - f^* \leq M_f v_f(x, x_*) \quad \forall x_* \in X_*. \tag{3}$$

*Доказательство.* \* В силу [Нестеров, 1989, сл. 1.5.1], а также условия  $M_f$ -липшицевости функции  $f$  для произвольного  $x_* \in X_*$

$$f(x) - f^* \leq \max\{f(y) - f(z) \mid \|y - z\|_2 \leq v_f(x, x_*)\} \leq M_f v_f(x, x_*),$$

что и требовалось.  $\square$

Будем в дальнейшем предполагать, что у функции  $f$  нет стационарных точек, за исключением, может быть, точек из  $X_*$  (замечание 4, [Стонякин и др., 2023]). Легко видеть, что неравенство (3) верно также и для точек  $x$  из  $X_*$ , несмотря на возможное нулевое значение градиента. Тем самым дополнительное ограничение на  $x$  ( $\nabla f(x) \neq 0$ ) в условии леммы 1 может быть опущено.

Зачастую на практике точное значение  $f^*$  неизвестно. Поэтому будем считать, что алгоритмам, предложенным в данной работе, доступно некоторое значение  $\bar{f}$ , связанное с  $f^*$  следующим образом:

$$f(x) - \bar{f} = c(x)(f(x) - f^*), \tag{4}$$

где  $c(x) \in [C, 2-C]$ ,  $C \in (0; 1]$  — некоторая константа. Очевидно, что равенство (4) не может быть верно ни при каком значении  $f(x)$ , достаточно близком к  $\bar{f}$  или  $f^*$ , где допустимая степень близости задается параметром  $C$  — чем он меньше, тем для более близких значений равенство (4) выполняется. Все последующие исследования предлагаемых далее алгоритмов подразумевают, что значения функции в рассматриваемых последовательностях точек  $x^k$  не приближаются к  $\bar{f}$  или  $f^*$  слишком близко, то есть для них равенство (4) подразумевается верным. Однако при  $C = 1$  равенство (4), очевидно, всегда верно, и никаких дополнительных ограничений не накладывается.

Также для анализа приведенных ниже алгоритмов нам потребуется следующее утверждение (см. [Поляк, 1969]):

**Лемма 2.** Пусть  $\varphi : Q \rightarrow \mathbb{R}$  — некоторая функция ( $Q \subset \mathbb{R}^n$  — замкнутое выпуклое множество), тогда для любых  $x \in Q$ ,  $x_* \in X_* \subset Q$  и любого  $h \geq 0$  верно следующее неравенство:

$$\|\bar{x} - x_*\|_2^2 \leq \|x - x_*\|_2^2 - 2h\langle \nabla \varphi(x), x - x_* \rangle + h^2 \|\nabla \varphi(x)\|_2^2,$$

где  $\bar{x} = \text{Pr}_Q\{x - h\nabla \varphi(x)\}$ .

### 3. Субградиентный метод с шагом типа Б. Т. Поляка для липшицевых задач с ограничениями-неравенствами с $\varepsilon$ -острым минимумом

В данном разделе будет рассмотрен вариант острого минимума и субградиентного метода, зависящий от желаемой точности решения  $\varepsilon > 0$  [Стонякин и др., 2023]. Такой подход достаточно общий, но позволяет даже при доступности точной информации об  $f^*$  гарантировать лишь попадание в окрестность некоторого точного решения задачи.

**Определение 2.** Будем говорить, что задача (1) обладает  $\varepsilon$ -острым минимумом ( $\varepsilon > 0$ ), если для фиксированного  $\alpha > 0$  верна альтернатива

- при  $g(x) > \varepsilon$

$$g(x) \geq \alpha \min_{x_* \in X_*} \|x - x_*\|_2 \quad \forall x \in Q,$$

- при  $g(x) \leq \varepsilon$

$$f(x) - f^* \geq \alpha \min_{x_* \in X_*} \|x - x_*\|_2 \quad \text{или} \quad f(x) - f^* \leq \varepsilon \quad \forall x \in Q.$$

**Пример 1.** Рассмотрим задачу минимизации сильно выпуклой функции

$$\min_{g(x) \leq 0, x \in Q} f(x), \tag{5}$$

где  $Q$  — выпуклое ограниченное замкнутое множество, а  $g(x) = \text{dist}(x, Q) = \min_{y \in Q} \|x - y\|_2$ .

Действительно, задача (5) обладает  $\varepsilon$ -острым минимумом: т. к.  $Q$  — ограниченное множество, то  $\text{diam}(Q) \leq C$  для некоторого  $C > 0$ , поэтому в случае  $g(x) = \text{dist}(x, Q) > \varepsilon$  воспользуемся неравенством треугольника

$$\min_{x_* \in X_*} \|x - x_*\|_2 \leq \text{dist}(x, Q) + \text{diam}(Q) \leq g(x) + C,$$

поэтому

$$g(x) \geq \min_{x_* \in X_*} \|x - x_*\|_2 - C = \alpha \min_{x_* \in X_*} \|x - x_*\|_2.$$

При  $g(x) \leq \varepsilon$  всё так же потребуем от целевой функции условие острого минимума:

$$f(x) - f^* \geq \alpha \min_{x_* \in X_*} \|x - x_*\|_2 \quad \text{или} \quad f(x) - f^* \leq \varepsilon,$$

для некоторого  $\alpha > 0$ .

Покажем, что с использованием некоторого варианта шага Б. Т. Поляка можно достичь сходимости следующего метода со скоростью геометрической прогрессии к  $\varepsilon$ -точному решению поставленной задачи.

**Теорема 1.** Пусть функция  $f$  квазивыпукла и  $M_f$ -липшицева ( $M_f > 0$ ), а  $g$   $\mu$ -слабо выпукла и задача имеет  $\varepsilon$ -острый минимум ( $\alpha > 0, \mu > 0$ ). Пусть  $\bar{f}$  такое, что  $f(x) - \bar{f} = c(x)(f(x) - f^*)$ , где  $c(x) \in [C, 2 - C]$  для некоторого  $C \in (0, 1)$ . Начальная точка  $x_0$  такова, что  $\min_{x_* \in X_*} \|x_0 - x_*\|_2 \leq \frac{\alpha\gamma}{\mu}$  для некоторого фиксированного  $\gamma \in (0; 1)$ . Тогда после  $k+1$  итераций алгоритма 1 справедлива следующая альтернатива: либо достигнуто  $\varepsilon$ -точное решение задачи, т. е.

$$f(x_{k+1}) - f^* \leq \varepsilon, \quad g(x_{k+1}) \leq \varepsilon,$$

или верно следующее неравенство:

$$\min_{x_* \in X_*} \|x_{k+1} - x_*\|_2^2 \leq \left(1 - \frac{\alpha^2}{M_f^2} (2C - C^2)\right)^{|I|} \prod_{i \in J} \left(1 - \frac{(1 - \gamma_i) \alpha^2}{\|\nabla g(x_i)\|_2^2}\right) \min_{x_* \in X_*} \|x_0 - x_*\|_2^2,$$

где последовательность  $\{\gamma_i\}_{i=0}^k$  такова, что  $\gamma_0 := \gamma \in (0; 1)$ , а далее, при  $i = 0, 1, 2, \dots, k$ , определим

$$\gamma_{i+1} := \gamma_i \sqrt{1 - \frac{\alpha^2(1 - \gamma_i)}{\|\nabla g(x_i)\|_2^2}}$$

**Алгоритм 1.** Схема с переключениями по продуктивным и непродуктивным шагам для липшицевых задач с ограничениями-неравенствами с  $\varepsilon$ -острым минимумом.

---

**Require:**  $x_0 : \min_{x_* \in X_*} \|x_0 - x_*\|_2 \leq \frac{\alpha\gamma}{\mu}$ ,  $\gamma \in (0; 1)$ ,  $\varepsilon > 0$ ,  $M_f > 0$ .

- 1:  $I \leftarrow \emptyset$ ,  $J \leftarrow \emptyset$ ,  $k \leftarrow 0$ ;
- 2: **repeat**
- 3:   **if**  $g(x_k) \leq \varepsilon$  **then**
- 4:      $h_k^f = \frac{f(x_k) - \bar{f}}{M_f \|\nabla f(x_k)\|_2}$ ;
- 5:      $x_{k+1} = \text{Pr}_Q \{x_k - h_k^f \nabla f(x_k)\}$ ;       «продуктивные шаги»
- 6:      $k \rightarrow I$ ;
- 7:   **else**
- 8:      $h_k^g = \frac{g(x_k)}{\|\nabla g(x_k)\|_2^2}$ ;
- 9:      $x_{k+1} = \text{Pr}_Q \{x_k - h_k^g \nabla g(x_k)\}$ ;       «непродуктивные шаги»
- 10:     $k \rightarrow J$ ;
- 11:   **end if**
- 12:    $k \leftarrow k + 1$ ;
- 13: **until**  $k = N$ .

---

для всякого непродуктивного шага ( $i \in J$ ) и

$$\gamma_{i+1} := \gamma_i \sqrt{1 - \frac{\alpha^2}{M_f^2} (2C - C^2)}$$

для всякого продуктивного шага ( $i \in I$ ).

*Доказательство.* \* 1) Для продуктивных шагов по лемме 2 справедливо следующее неравенство:

$$2h_k^f \langle \nabla f(x_k), x_k - x_* \rangle \leq \left( h_k^f \right)^2 \|\nabla f(x_k)\|_2^2 + \|x_k - x_*\|_2^2 - \|x_{k+1} - x_*\|_2^2 \quad \forall k \in I.$$

Поэтому имеем

$$\begin{aligned} \min_{x_* \in X_*} \|x_{k+1} - x_*\|_2^2 &\leq \min_{x_* \in X_*} \|x_k - x_*\|_2^2 + \left( h_k^f \right)^2 \|\nabla f(x_k)\|_2^2 - 2h_k^f \langle \nabla f(x_k), x_k - x_* \rangle \\ &= \min_{x_* \in X_*} \|x_k - x_*\|_2^2 + \frac{(f(x_k) - \bar{f})^2}{M_f^2} - \frac{2(f(x_k) - \bar{f})}{M_f} \left\langle \frac{\nabla f(x_k)}{\|\nabla f(x_k)\|_2}, x_k - x_* \right\rangle \\ &= \min_{x_* \in X_*} \|x_k - x_*\|_2^2 + \left( \frac{f(x_k) - \bar{f}}{M_f} \right)^2 - \frac{2(f(x_k) - \bar{f})}{M_f} v_f(x_k, x_*) \\ &\leq \min_{x_* \in X_*} \|x_k - x_*\|_2^2 + c^2(x_k) \frac{(f(x_k) - f^*)^2}{M_f^2} - 2 \cdot \frac{f(x_k) - f^*}{M_f^2} \cdot c(x_k) (f(x_k) - f^*) \\ &= \min_{x_* \in X_*} \|x_k - x_*\|_2^2 - \left( \frac{f(x_k) - f^*}{M_f} \right)^2 (2c(x_k) - c^2(x_k)) \\ &\leq \min_{x_* \in X_*} \|x_k - x_*\|_2^2 \left( 1 - \frac{\alpha^2}{M_f^2} (2c(x_k) - c^2(x_k)) \right) \\ &\leq \min_{x_* \in X_*} \|x_k - x_*\|_2^2 \left( 1 - \frac{\alpha^2}{M_f^2} (2C - C^2) \right), \end{aligned}$$

так как  $v_f(x_k, x_*) \geq \frac{f(x_k) - f^*}{M_f}$ .

2) Для непродуктивных шагов при  $g(x_k) > \varepsilon$  верно  $g(x_k) \geq \alpha \min_{x_* \in X_*} \|x_k - x_*\|_2$ . Тогда по лемме 2 для ближайшего к  $x_k$  точного решения  $x_* \in X_*$  ввиду  $g(x_*) \leq 0$ , имеем:

$$\begin{aligned} \|x_{k+1} - x_*\|_2^2 &\leq \|x_k - x_*\|_2^2 + \frac{2g(x_k) \langle \nabla g(x_k), x_* - x_k \rangle}{\|\nabla g(x_k)\|_2^2} + \left( \frac{g(x_k)}{\|\nabla g(x_k)\|_2^2} \right)^2 \|\nabla g(x_k)\|_2^2 \\ &\leq \|x_k - x_*\|_2^2 + \frac{2g(x_k)}{\|\nabla g(x_k)\|_2^2} \left( g(x_*) - g(x_k) + \frac{\mu}{2} \|x_k - x_*\|_2^2 \right) + \frac{(g(x_k))^2}{\|\nabla g(x_k)\|_2^2} \\ &\leq \|x_k - x_*\|_2^2 + \frac{g(x_k) \mu}{\|\nabla g(x_k)\|_2^2} \|x_k - x_*\|_2^2 - \frac{2(g(x_k))^2}{\|\nabla g(x_k)\|_2^2} + \frac{(g(x_k))^2}{\|\nabla g(x_k)\|_2^2} \\ &= \|x_k - x_*\|_2^2 + \frac{g(x_k)}{\|\nabla g(x_k)\|_2^2} \left( \mu \|x_k - x_*\|_2^2 - g(x_k) \right) \\ &\leq \|x_k - x_*\|_2^2 + \frac{g(x_k)}{\|\nabla g(x_k)\|_2^2} \left( \mu \|x_k - x_*\|_2^2 - \alpha \|x_k - x_*\|_2 \right) \\ &\leq \|x_k - x_*\|_2^2 + \frac{g(x_k)}{\|\nabla g(x_k)\|_2^2} (\alpha \gamma_k - \alpha) \|x_k - x_*\|_2 \leq \left( 1 - \frac{(1 - \gamma_k) \alpha^2}{\|\nabla g(x_k)\|_2^2} \right) \|x_k - x_*\|_2^2. \end{aligned}$$

Тогда ясно, что

$$\min_{x_* \in X_*} \|x_{k+1} - x_*\|_2^2 \leq \left( 1 - \frac{\alpha^2}{M_f^2} (2C - C^2) \right)^{|I|} \prod_{i \in J} \left( 1 - \frac{(1 - \gamma_i) \alpha^2}{\|\nabla g(x_i)\|_2^2} \right) \min_{x_* \in X_*} \|x_0 - x_*\|_2^2,$$

что и требовалось. При этом на «непродуктивном шаге» не может быть ситуации  $\nabla g(x_k) = 0$  ввиду предложенного варианта выбора начальной точки  $x_0$  ([Стонякин и др., 2023], замечание 4).  $\square$

Если рассматривать задачи с выпуклыми ограничениями ( $\mu = 0$ ), то пропадает необходимость ограничивать выбор начальной точки  $x_0$  в алгоритме 1. Сформулируем этот результат.

**Следствие 1.** Пусть  $f$  квазивыпукла и  $M_f$ -липшицева ( $M_f > 0$ ), а  $g$  выпукла и задача имеет  $\varepsilon$ -острый минимум ( $\alpha > 0$ ). Тогда после  $k+1$  итераций алгоритма 1 справедлива следующая альтернатива: либо достигнуто  $\varepsilon$ -точное решение задачи, т. е.

$$f(x_{k+1}) - f^* \leq \varepsilon, \quad g(x_{k+1}) \leq \varepsilon,$$

или верно следующее неравенство:

$$\min_{x_* \in X_*} \|x_{k+1} - x_*\|_2^2 \leq \left( 1 - \frac{\alpha^2}{M_f^2} (2C - C^2) \right)^{|I|} \prod_{i \in J} \left( 1 - \frac{\alpha^2}{\|\nabla g(x_i)\|_2^2} \right) \min_{x_* \in X_*} \|x_0 - x_*\|_2^2.$$

*Доказательство.* \* Аналогично теореме 1 с  $\mu = 0$ .  $\square$

**Замечание 1.** Отметим, что равномерная ограниченность норм  $\|\nabla g(x_k)\|_2 \leq M_g$ ,  $\forall k \in \overline{0, N}$ , где  $M_g > 0$ , влечет в выпуклом случае оценку

$$\begin{aligned} \min_{x_* \in X_*} \|x_N - x_*\|_2^2 &\leq \left( 1 - \frac{\alpha^2}{M_f^2} (2C - C^2) \right)^{|I|} \left( 1 - \frac{\alpha^2}{M_g^2} \right)^{|J|} \min_{x_* \in X_*} \|x_0 - x_*\|_2^2 \\ &\leq \left( 1 - \frac{\alpha^2}{M^2} (2C - C^2) \right)^N \min_{x_* \in X_*} \|x_0 - x_*\|_2^2, \end{aligned}$$

где  $M = \max\{M_f, M_g\}$ . Это, в свою очередь, указывает на сходимость со скоростью геометрической прогрессии, причем при  $C = 1$  получаем  $\bar{f} = f^*$  и наибольшую скорость сходимости.

**Замечание 2.** Так же шаг Б. Т. Поляка позволяет доказать, что невязка по аргументу не возрастает по мере увеличения количества итераций. А значит, можно считать, что для любого  $k = 0, 1, 2, \dots$  выполняется  $x_k \in G$ , где  $G$  — некоторое ограниченное множество. Поэтому достаточно требовать ограниченность норм градиента и, как следствие, липшицевость функции не на всем пространстве, а лишь на множестве  $G$ .

**Замечание 3.** В некоторых задачах возникает условие *слабого острого минимума*

$$f(x) - f^* \geq C \min_{x_* \in X_*} \|x - x_*\|_2^p \quad \forall x \in Q,$$

для некоторого фиксированного  $p \in [1, +\infty)$  и некоторой постоянной  $C > 0$ . Тогда при достаточно большом расстоянии от текущей точки до множества решений  $X_*$  выполняется

$$f(x) - f^* \geq C \min_{x_* \in X_*} \|x - x_*\|_2^p \geq C_1 \min_{x_* \in X_*} \|x - x_*\|_2,$$

где  $C_1$  — некоторая постоянная. Таким образом, описанная методика позволит достигнуть определенного уровня близости к точному решению по аргументу.

**Замечание 4.** Пусть теперь задача ставится следующим образом:

$$\min_{g(x) \leq 0, x \in Q} f(x), \tag{6}$$

где  $Q$  — выпуклое замкнутое подмножество  $\mathbb{R}^n$ , а  $g(x) = \max_{i \in \overline{1, m}} g_i(x)$ . Тогда следует переформулировать определение  $\varepsilon$ -острого минимума задачи (6).

**Определение 3.** Будем говорить, что задача (6) обладает  $\varepsilon$ -острым минимумом ( $\varepsilon > 0$ ), если существует набор  $\alpha_{g_i} > 0$  для  $i \in \overline{1, m}$  и  $\alpha_f > 0$ , для которых верна альтернатива

- при  $g_i(x) > \varepsilon$ ,

$$g_i(x) \geq \alpha_{g_i} \min_{x_* \in X_*} \|x - x_*\|_2 \quad \forall x \in Q,$$

- при  $g_i(x) \leq \varepsilon$ ,

$$f(x) - f^* \geq \alpha_f \min_{x_* \in X_*} \|x - x_*\|_2 \quad \text{или} \quad f(x) - f^* \leq \varepsilon \quad \forall x \in Q.$$

Тогда множество продуктивных шагов алгоритма обозначим  $I = \{k \in \mathbb{N} \mid \forall i \in \overline{1, m} \rightarrow g(x_k) \leq \varepsilon\}$ , непродуктивных —  $J = \{k \in \mathbb{N} \mid \exists i : g_i(x_k) > \varepsilon\}$ . То есть пропадает необходимость считать все субградиенты  $\nabla g_i(x)$ , вместо этого работая с первым нарушенным ограничением. При этом на непродуктивных шагах в качестве параметров ограничений ( $\alpha, M, \mu$  и т. д.) можно выбрать наиболее удачные с точки зрения сходимости.

#### 4. Субградиентный метод с шагом типа Б. Т. Поляка для липшицевых задач с ограничениями-неравенствами с вариантом острого минимума, не зависящим от ожидаемой точности решения задач

В этом разделе мы рассмотрим другой способ задания острого минимума, предложенный в [Lin et al., 2020].

**Определение 4.** Будем говорить, что задача (1) обладает «условным» острым минимумом, если существует такое  $\alpha > 0$ , для которого выполнено

$$\max\{f(x) - f^*, g(x)\} \geq \alpha \min_{x_* \in X_*} \|x - x_*\|_2. \tag{7}$$

В недавней работе [Аблаев и др., 2023] для липшицевых задач с «условным» острым минимумом доказана сходимость со скоростью геометрической прогрессии рестартованных по параметру острого минимума субградиентных методов. Недостаток этого подхода — необходимость знать оценку такого параметра, что довольно затруднительно для многих реально возникающих задач на практике. Мы поставим задачу получить результат о линейной скорости сходимости (хотя бы в окрестность множества решений) для варианта субградиентного метода, не предполагающего для реализации знания величины этого параметра. В отличие от рассмотренного в предыдущем разделе  $\varepsilon$ -острого минимума, данный способ задания острого минимума не зависит от параметра  $\varepsilon$ , который, как видно из теоремы 1, ограничивает точность, которую может гарантировать алгоритм 1. Предлагаемый же алгоритм 2 для задачи с острым минимумом (7), как показано далее в этом разделе, в теореме 2, имеет линейную скорость сходимости и при достаточно большом числе итераций может позволить достичь любого заданного качества решения по аргументу в зависимости от точности информации о минимальном значении  $f^*$ .

**Алгоритм 2.** Схема с переключениями по продуктивным и непродуктивным шагам для липшицевых задач с ограничениями-неравенствами с вариантом острого минимума, не зависящим от ожидаемой точности решения задач.

---

**Require:**  $x_0 : \min_{x_* \in X_*} \|x_0 - x_*\|_2 \leq \frac{C\alpha\gamma_0}{\mu}$ ,  $\gamma_0 \in (0; 1)$ ,  $M_f > 0$ ,  $N > 0$ .

- 1:  $I \leftarrow \emptyset$ ,  $J \leftarrow \emptyset$ ,  $k \leftarrow 0$ ;
- 2: **repeat**
- 3:   **if**  $f(x_k) - \bar{f} \geq g(x_k)$  **then**
- 4:      $h_k^f = \frac{f(x_k) - \bar{f}}{M_f \|\nabla f(x_k)\|_2}$ ;
- 5:      $x_{k+1} = \text{Pr}_Q \{x_k - h_k^f \nabla f(x_k)\}$ ;       «продуктивные шаги»
- 6:      $k \rightarrow I$ ;
- 7:   **else**
- 8:      $h_k^g = \frac{g(x_k)}{\|\nabla g(x_k)\|_2^2}$ ;
- 9:      $x_{k+1} = \text{Pr}_Q \{x_k - h_k^g \nabla g(x_k)\}$ ;       «непродуктивные шаги»
- 10:     $k \rightarrow J$ ;
- 11:   **end if**
- 12:     $k \leftarrow k + 1$ ;
- 13: **until**  $k = N$ .

---

Проведем анализ алгоритма 2 для задачи (1) с учётом всех предположений (отсутствие стационарных точек в  $Q \setminus X_*$ , наличие острого минимума (7) и доступ к  $\bar{f}$ ).

Начнём с анализа «продуктивных шагов». Возможны два случая:

- $f(x_k) - f^* \geq g(x_k)$ : в силу условия острого минимума (7) и условия (4) на  $\bar{f}$  выполнено

$$f(x_k) - \bar{f} = c(x_k)(f(x_k) - f^*) \geq c(x_k)\alpha \min_{x_* \in X_*} \|x_k - x_*\|_2;$$

- $f(x_k) - f^* \leq g(x_k)$ : тогда, так как шаг «продуктивный» и в силу условия острого минимума (7), выполнено

$$f(x_k) - \bar{f} \geq g(x_k) \geq \alpha \min_{x_* \in X_*} \|x_k - x_*\|_2.$$

То есть

$$f(x_k) - \bar{f} \geq \min\{1, c(x_k)\}\alpha \min_{x_* \in X_*} \|x_k - x_*\|_2. \quad (8)$$

Рассмотрим ближайшее  $x_* \in X_*$  к  $x^k$  и, применив лемму 2 к  $x_{k+1}$  на «продуктивном шаге», получим

$$\begin{aligned} \|x_{k+1} - x_*\|_2^2 &\leq \|x_k - x_*\|_2^2 - 2h_k^f \langle \nabla f(x_k), x_k - x_* \rangle + (h_k^f)^2 \|\nabla f(x_k)\|_2^2 \\ &= \|x_k - x_*\|_2^2 - 2\frac{f(x_k) - \bar{f}}{M_f} v_f(x_k, x_*) + \left(\frac{f(x_k) - \bar{f}}{M_f}\right)^2. \end{aligned}$$

Воспользовавшись леммой 1 и условием (4) на  $\bar{f}$ , получаем

$$\|x_{k+1} - x_*\|_2^2 \leq \|x_k - x_*\|_2^2 - \frac{2 - c(x_k)}{c(x_k)} \left(\frac{f(x_k) - \bar{f}}{M_f}\right)^2.$$

Наконец, применив (8),

$$\|x_{k+1} - x_*\|_2^2 \leq \left(1 - \frac{2 - c(x_k)}{c(x_k)} (\min\{1, c(x_k)\})^2 \frac{\alpha^2}{M_f^2}\right) \|x_k - x_*\|_2^2 \leq \left(1 - \frac{C}{2 - C} \frac{\alpha^2}{M_f^2}\right) \|x_k - x_*\|_2^2.$$

Следовательно,

$$\min_{x_* \in X_*} \|x_{k+1} - x_*\|_2^2 \leq \left(1 - \frac{C}{2-C} \frac{\alpha^2}{M_f^2}\right) \min_{x_* \in X_*} \|x_k - x_*\|_2^2. \quad (9)$$

Теперь перейдём к анализу «непродуктивного шага». Действовать будем по аналогичной схеме. Возможны два случая:

- $f(x_k) - f^* \geq g(x_k)$ : в силу условия острого минимума (7), условия (4) на  $\bar{f}$  и того, что шаг «непродуктивный», выполнено

$$g(x_k) \geq f(x_k) - \bar{f} = c(x_k)(f(x_k) - f^*) \geq c(x_k)\alpha \min_{x_* \in X_*} \|x_k - x_*\|_2 \geq C\alpha \min_{x_* \in X_*} \|x_k - x_*\|_2;$$

- $f(x_k) - f^* \leq g(x_k)$ : тогда, в силу условия острого минимума (7), выполнено

$$g(x_k) \geq \alpha \min_{x_* \in X_*} \|x_k - x_*\|_2.$$

То есть, так как  $C \leq 1$ ,

$$g(x_k) \geq C\alpha \min_{x_* \in X_*} \|x_k - x_*\|_2. \quad (10)$$

Снова взяв ближайшее  $x_* \in X_*$  к  $x^k$  и воспользовавшись леммой 2 для  $x_{k+1}$  с «непродуктивного шага», получим

$$\begin{aligned} \|x_{k+1} - x_*\|_2^2 &\leq \|x_k - x_*\|_2^2 - 2h_k^g \langle \nabla g(x_k), x_k - x_* \rangle + (h_k^g)^2 \|\nabla g(x_k)\|_2^2 \\ &= \|x_k - x_*\|_2^2 - 2 \frac{g(x_k)}{\|\nabla g(x_k)\|_2^2} \langle \nabla g(x_k), x_k - x_* \rangle + \frac{(g(x_k))^2}{\|\nabla g(x_k)\|_2^2}. \end{aligned}$$

В силу  $\mu$ -слабой выпуклости  $g$  имеем

$$\begin{aligned} \|x_{k+1} - x_*\|_2^2 &\leq \|x_k - x_*\|_2^2 + 2 \frac{g(x_k)}{\|\nabla g(x_k)\|_2^2} \left( g(x_*) - g(x_k) + \frac{\mu}{2} \|x_k - x_*\|_2^2 \right) + \frac{(g(x_k))^2}{\|\nabla g(x_k)\|_2^2} \\ &\leq \|x_k - x_*\|_2^2 - \frac{g(x_k)}{\|\nabla g(x_k)\|_2^2} \left( g(x_k) - \mu \|x_k - x_*\|_2^2 \right), \end{aligned}$$

где в последнем неравенстве учтено, что  $g(x_*) \leq 0$ . Далее, дважды воспользовавшись неравенством (10), получим

$$\begin{aligned} \|x_{k+1} - x_*\|_2^2 &\leq \|x_k - x_*\|_2^2 - \frac{g(x_k)}{\|\nabla g(x_k)\|_2^2} \left( C\alpha \|x_k - x_*\|_2 - \mu \|x_k - x_*\|_2 \right) \\ &\leq \|x_k - x_*\|_2^2 - \frac{g(x_k)}{\|\nabla g(x_k)\|_2^2} (1 - \gamma_k) C\alpha \|x_k - x_*\|_2 \\ &\leq \left( 1 - \frac{(1 - \gamma_k) C^2 \alpha^2}{\|\nabla g(x_k)\|_2^2} \right) \|x_k - x_*\|_2^2, \end{aligned}$$

где последовательность  $\{\gamma_{i+1}\}_{i=0}^{k-1}$  задается следующим образом:

$$\gamma_{i+1} = \begin{cases} \gamma_i \sqrt{1 - \frac{C}{2-C} \frac{\alpha^2}{M_f^2}}, & i \in I; \\ \gamma_i \sqrt{1 - \frac{(1-\gamma_i) C^2 \alpha^2}{\|\nabla g(x_i)\|_2^2}}, & i \in J, \end{cases} \quad (11)$$

гарантирующим, что  $\min_{x_* \in X_*} \|x_k - x_*\|_2 \leq \frac{C\alpha\gamma_k}{\mu}$ . Следовательно,

$$\min_{x_* \in X_*} \|x_{k+1} - x_*\|_2^2 \leq \left( 1 - C^2 \frac{(1 - \gamma_k) \alpha^2}{\|\nabla g(x_k)\|_2^2} \right) \min_{x_* \in X_*} \|x_k - x_*\|_2^2. \quad (12)$$

Осталось показать, что на «непродуктивном шаге» не может быть ситуации  $\nabla g(x_k) = 0$ . Предположим противное. Тогда, в силу  $\mu$ -слабой выпуклости функции  $g$ , для любого  $x_* \in X_*$

$$g(x_*) \geq g(x_k) + \langle \nabla g(x_k), x_* - x_k \rangle - \frac{\mu}{2} \|x_* - x_k\|_2^2 = g(x_k) - \frac{\mu}{2} \|x_* - x_k\|_2^2. \quad (13)$$

Так как любое  $x_* \in X_*$  является решением, то  $g(x_*) \leq 0$ . Следовательно, заметив, что неравенство (13) верно для любого  $x_* \in X_*$ , и воспользовавшись неравенством (10), имеем

$$C\alpha \min_{x_* \in X_*} \|x_k - x_*\|_2 \leq g(x_k) \leq \frac{\mu}{2} \min_{x_* \in X_*} \|x_* - x_k\|_2^2.$$

То есть  $\min_{x_* \in X_*} \|x_* - x_k\|_2 \geq \frac{2C\alpha}{\mu}$ , что неверно, так как  $\min_{x_* \in X_*} \|x_0 - x_*\|_2 \leq \frac{C\alpha\gamma_0}{\mu}$ , где  $\gamma_0 \in (0; 1)$ , и, в силу оценок (9) и (12), расстояния от каждой следующей получаемой алгоритмом точки до множества решений меньше, чем от предыдущей.

Таким образом, верна следующая

**Теорема 2.** Пусть  $Q \subset \mathbb{R}^n$  — замкнутое выпуклое множество,  $f : Q \rightarrow \mathbb{R}$  —  $M_f$ -липшицевая квазивыпуклая функция,  $g : Q \rightarrow \mathbb{R}$  —  $\mu$ -слабо выпуклая функция, а начальная точка  $x_0$  такова, что  $\min_{x_* \in X_*} \|x_0 - x_*\|_2 \leq \frac{C\alpha\gamma_0}{\mu}$ , где  $\gamma_0 \in (0; 1)$ . Тогда верно следующее неравенство для выходной точки  $x_N$  алгоритма 2 после  $N$  итераций:

$$\min_{x_* \in X_*} \|x_N - x_*\|_2^2 \leq \left(1 - \frac{C}{2-C} \frac{\alpha^2}{M_f^2}\right)^{|I|} \prod_{k \in J} \left(1 - C^2 \frac{(1-\gamma_k)\alpha^2}{\|\nabla g(x_k)\|_2^2}\right) \min_{x_* \in X_*} \|x_0 - x_*\|_2^2,$$

где последовательность  $\{\gamma_{i+1}\}_{i=0}^{N-1}$  задается согласно (11).

**Следствие 2.** Если в условиях теоремы 2 дополнительно предположить выпуклость функции  $g$ , или, иными словами, что  $\mu = 0$ , то будет верно следующее неравенство для выходной точки  $x_N$  алгоритма 2 после  $N$  итераций:

$$\min_{x_* \in X_*} \|x_N - x_*\|_2^2 \leq \left(1 - \frac{C}{2-C} \frac{\alpha^2}{M_f^2}\right)^{|I|} \prod_{k \in J} \left(1 - C^2 \frac{\alpha^2}{\|\nabla g(x_k)\|_2^2}\right) \min_{x_* \in X_*} \|x_0 - x_*\|_2^2.$$

При этом выбор начальной точки ничем не ограничен.

*Доказательство.* \* Аналогично приведенным выше рассуждениям при  $\mu = 0$ . □

**Следствие 3.** Если, помимо выпуклости функции  $g$ , в условиях теоремы 2 предположить ограниченность норм  $\|\nabla g(x_k)\|_2 \leq M_g$  для всех  $k = \overline{0, N-1}$  (например, в случае  $M_g$ -липшицевости функции  $g$ ), то будет верно следующее неравенство для выходной точки  $x_N$  алгоритма 2 после  $N$  итераций:

$$\min_{x_* \in X_*} \|x_N - x_*\|_2^2 \leq \left(1 - C^2 \frac{\alpha^2}{M^2}\right)^N \min_{x_* \in X_*} \|x_0 - x_*\|_2^2,$$

где  $M = \max\{M_f, M_g\}$ .

*Доказательство.* \* Аналогично приведенным выше рассуждениям с учетом того, что  $\frac{C}{2-C} \geq C^2$ , так как  $C \in (0; 1]$ . □

**Замечание 5.** Аналогично замечанию 2 для алгоритма 1 липшицевость функции  $f$ , а также ограниченность норм в следствии 3 можно требовать не на всём множестве  $Q$ , а лишь на некотором ограниченном подмножестве  $G$ .

## 5. Вычислительные эксперименты

В настоящем разделе для иллюстрации работоспособности предложенных выше алгоритмов 1 и 2 приведём некоторые результаты вычислительных экспериментов для четырёх примеров в сравнении с алгоритмом 3 из [Аблаев и др., 2023], который является одним из недавно предложенных алгоритмов для класса квазивыпуклых задач оптимизации с функциональными ограничениями-неравенствами.

**Пример 2** (задача геометрического программирования [Boyd et al., 2007]). Рассмотрим целевую функцию вида

$$f(x) = \sqrt[p]{|x_1|^p + |x_2|^p + \dots + |x_n|^p}, \quad p \geq 1; \quad (14)$$

и следующую функцию ограничений:

$$g(x) = \max_{i \in \overline{1, m}} \{g_i(x) = a_i x_1^{\alpha_{i1}} x_2^{\alpha_{i2}} \cdots x_n^{\alpha_{in}} - b_i, x_j > 0 \forall j \in \overline{1, n}\}, \quad (15)$$

где  $a_i > 0, b_i \in \mathbb{R}, (\alpha_{i1}, \alpha_{i2}, \dots, \alpha_{in}) \in \mathbb{R}^n$  и каждая функция  $g_i(x) (i \in \overline{1, m})$  является позиномиальной функцией.

**Пример 3.** Предположим, что  $a, b \in \mathbb{R}^n$ , и определим следующую целевую функцию

$$f(x) = \frac{\|x - a\|_2}{\|x - b\|_2}, \quad (16)$$

то есть отношение евклидова расстояния до  $a$  к расстоянию до  $b$ . Функция  $f$  квазивыпукла на полу-пространстве  $\{x \in \mathbb{R}^n : \|x - a\|_2 \leq \|x - b\|_2\}$ . Функция ограничений имеет следующий вид:

$$g(x) = \|x\|_2 + \max\{\langle -a, x \rangle, \|x\|_2\} - b, \quad (17)$$

где  $a \in \mathbb{R}^n$  — фиксированный вектор и  $b \in \mathbb{R}$ , или имеет следующий вид:

$$g(x) = \max_{i \in \overline{1, m}} \{g_i(x) = \langle \alpha_i, x \rangle - \beta_i\}, \quad (18)$$

где  $\alpha_i \in \mathbb{R}^n, \beta_i \in \mathbb{R} \forall i \in \overline{1, m}$ .

Для этого примера мы берем  $a = \mathbf{0} \in \mathbb{R}^n$ , точка  $b \in \mathbb{R}^n$  выбрана так, что  $\|b - a\|_2 = 2$  и в качестве множества  $Q$  выберем шар из  $\mathbb{R}^n$  с центром в  $a = \mathbf{0} \in \mathbb{R}^n$  радиуса 1.

**Пример 4** (задача проектирования механических конструкций [Nesterov, Shpirko, 2014]). Интересным примером приложений может быть использование схем с переключениями к задаче проектирования механических конструкций, которые могут быть сведены [Nesterov, Shpirko, 2014] к оптимизационной задаче вида

$$\max_{x \in Q} \langle \alpha, x \rangle, \quad \text{удовл. } g(x) := \max_{i \in \overline{1, m}} \{\pm \langle a_i, x \rangle - 1\} = \max_{i \in \overline{1, 2m}} g_i(x), \quad (19)$$

где  $g_i(x) = \pm \langle a_i, x \rangle - 1$  (у нас есть  $2m$  функциональных ограничений  $g_i(\cdot)$ ).

Выберем в качестве множества  $Q$  для примеров 3 и 4 евклидов шар из  $\mathbb{R}^n$  с центром в  $\mathbf{0} \in \mathbb{R}^n$  радиуса  $r$ , а для примера 2 выбираем положительную часть этого шара.

Для примера 2 запускался алгоритм 1 (на практике, по крайней мере для рассмотренных примеров, заметной разницы в работе алгоритмов 1 и 2 нет, поэтому мы рассматриваем здесь только работу алгоритма 1) со стартовой точкой  $\left(\frac{1}{\sqrt{n}}, \dots, \frac{1}{\sqrt{n}}\right) \in \mathbb{R}^n$  при  $n = 1000, m = 100, r = 1, \varepsilon = 10^{-3}, p = 5$ . Коэффициенты в (15) генерируются случайным образом с равномерным распределением на интервале  $[0, 1]$ , и константы  $b_i$  генерируются случайным образом с нормальным (гауссовским) распределением с математическим ожиданием в 0, и среднеквадратичным отклонением, равным 1. В этом случае оптимальное значение  $f^* = 0$ .

Для примера 3 с ограничением вида (17), запускались алгоритмы со стартовой точкой  $x_0 = \left(\frac{1}{\sqrt{n}}, \dots, \frac{1}{\sqrt{n}}\right) \in \mathbb{R}^n$  и  $n = 10^5, r = 1$ . Вектор  $a$  и константа  $b$  в (17) сгенерированы случайным образом с равномерным распределением на интервале  $[0, 1]$ . В случае ограничений вида (18) алгоритмы запускались с начальной точкой  $\left(\frac{-1}{\sqrt{n}}, \dots, \frac{-1}{\sqrt{n}}\right) \in \mathbb{R}^n$  при  $n = 1000, m = 100, r = 1$ . Коэффициенты  $\alpha_i$  и  $\beta_i$  в (18) генерируются случайным образом с равномерным распределением на интервале  $[0, 1]$ .

Для примера 4 мы запускали алгоритмы со стартовой точкой  $x_0 = \left( \frac{1}{\sqrt{n}}, \dots, \frac{1}{\sqrt{n}} \right) \in \mathbb{R}^n$  и  $n = 1000, m = 100, r = 1, \varepsilon = 10^{-4}$ . Вектор  $\alpha$  в (19) сгенерирован случайным образом с равномерным распределением на интервале  $[0, 1)$ . Коэффициенты  $a_i$  в (19) генерируются случайным образом с нормальным (гауссовским) распределением с математическим ожиданием в 0, и среднеквадратичным отклонением, равным 0.1 и 1.

Результаты сравниваемых алгоритмов (алгоритм 1 и алгоритм 3 из [Аблаев и др., 2023] «субградиентный метод с переключениями») представлены на рис. 1, 2, 3 и 4.

Эти результаты отражают значения целевой функции в примерах 2 и 3, а также значения функции ограничений в точках на каждой итерации. А результаты на рис. 4 (для примера 4) отражают значения  $f(x_k) - f^*$ , когда коэффициенты  $a_i$  в (19) генерируются случайным образом с нормальным распределением с математическим ожиданием 0 и стандартным средним квадратичным отклонением, равным 0.1, (слева) и с математическим ожиданием 0 и стандартным средним квадратичным отклонением 1 (справа).

Из рис. 1, 2, 3 и 4 мы видим эффективность предложенного алгоритма 1, с помощью этого алгоритма мы можем достичь решения задачи с очень высокой скоростью по сравнению с другими схемами, такими как алгоритм 3 из [Аблаев и др., 2023], которые медленно сходятся к решению. Также на рис. 4 (справа) мы видим результаты только для алгоритма 1, потому что для случая, когда коэффициенты  $a_i$  в (19) генерируются случайным образом с нормальным распределением с математическим ожиданием 0 и средним квадратичным отклонением 1, по субградиентному алгоритму с переключением до 20000 итераций нет ни одного продуктивного шага.

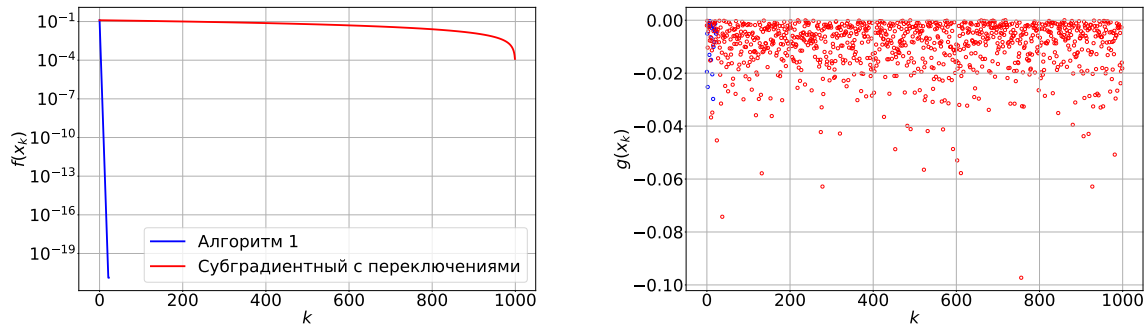


Рис. 1. Результаты алгоритма 1 и субградиентного метода (алгоритм 3 из [Аблаев и др., 2023]) с переключениями для примера 2. На этих рисунках показана динамика значений  $f(x_k)$  (14) и значения  $g(x_k)$  (15).

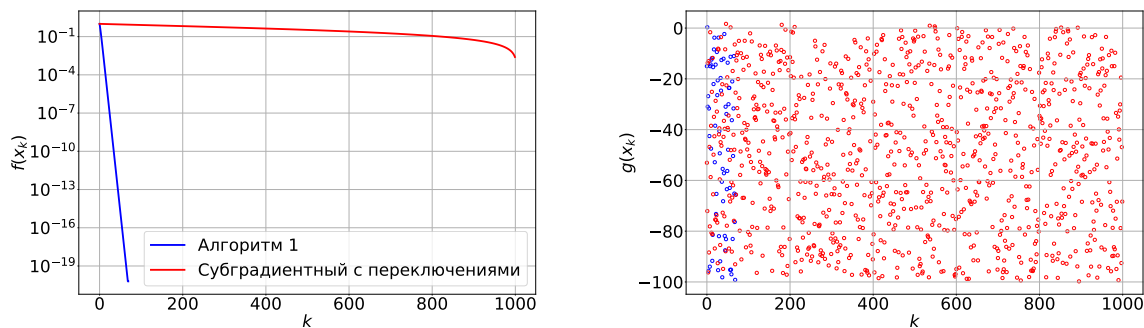


Рис. 2. Результаты алгоритма 1 и субградиентного метода с переключениями (алгоритм 3 из [Аблаев и др., 2023]) для примера 3 с ограничениями (17). На этих рисунках показана динамика значений  $f(x_k)$  (16) и значения  $g(x_k)$  (17).

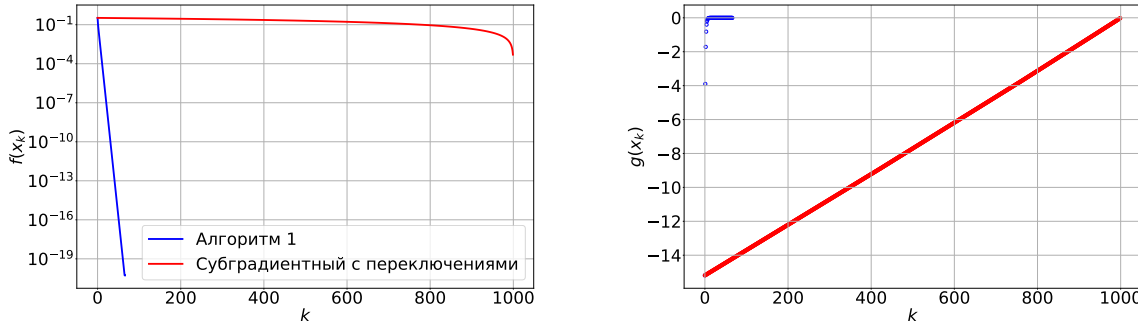


Рис. 3. Результаты алгоритма 1 и субградиентного метода с переключениями (алгоритм 3 из [Аблаев и др., 2023]) для примера 3 с ограничениями (18). На этих рисунках показана динамика значений  $f(x_k)$  (16) и значения  $g(x_k)$  (18).

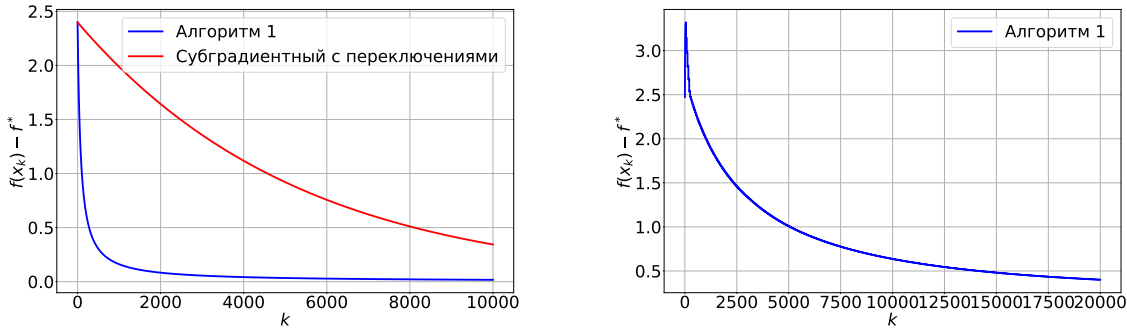


Рис. 4. Результаты алгоритма 1 и субградиентного метода с переключениями (алгоритм 3 из [Аблаев и др., 2023]) для примера 4 (задача (19)). На этих рисунках показана динамика значений  $f(x_k) - f^*$ , когда коэффициенты  $a_i$  в (19) генерируются случайным образом с нормальным распределением с центром, равным 0, и стандартным отклонением, равным 0.1, (слева) и с центром, равным 0, и стандартным отклонением, равным 1, (справа).

Сравним теперь скорость сходимости метода для шага вида  $h_k^f = \frac{\varepsilon}{\|\nabla f(x_k)\|_2^2}$  и шага Поляка из алгоритма 1:  $h_k^f = \frac{f(x_k) - \bar{f}}{M_f \|\nabla f(x_k)\|_2}$ . Шаг для ограничений же у обоих методов поставим одинаковый:  $h_k^g = \frac{1}{\|\nabla g(x_k)\|_2}$ . Далее, рассмотрим следующий пример.

**Пример 5.** Предположим, что  $x \in \mathbb{R}_{++}^n$ , и определим следующую целевую функцию:

$$f(x) = -\sqrt{x^\top a},$$

где  $a \in \mathbb{R}_{++}^n$  — фиксированный вектор, а функция ограничений имеет следующий вид:

$$g(x) = \sum_{i=0}^n x \log(x/a_i) - x_i - a_i,$$

т. е.  $g(x)$  отражает расстояние Кульбака–Лейблера между  $a$  и  $x$ . Положим  $g(x) \leq 1000$  и размерность задачи  $n = 10^5$ .

Для приближённого решения задачи минимизации  $f(x)$  с ограничениями  $g(x)$  на множестве  $\mathbb{R}_{++}^n$  рассчитаем решение в библиотеке cvxpy. Воспользуемся этим примерным решением для расчёта шага Поляка на продуктивных итерациях. Из рис. 5 видим, что метод с шагом Поляка сильно превосходит шаг вида  $h_k^f = \frac{\varepsilon}{\|\nabla f(x_k)\|_2^2}$  по скорости сходимости, его убывание гораздо резче, но затем, после достаточного убывания, оба шага отбрасывают назад непродуктивными шагами.

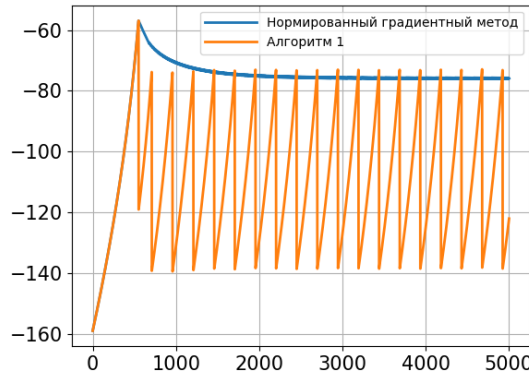


Рис. 5. Результаты сходимости алгоритма 1 с шагом Поляка и с нормированным градиентным шагом для примера (5).

## 6. Заключение

В статье исследованы некоторые субградиентные методы с переключениями по продуктивным и непродуктивным шагам для задач минимизации квазивыпуклых липшицевых функций с ограничениями-неравенствами двух предположений об остром минимуме [Стонякин и др., 2023, Lin et al., 2020]. Для такого класса задач развивается подход [Аблаев и др., 2023] на базе субградиентных методов с переключениями по продуктивным и непродуктивным шагам. Однако важно, что вместо рестартов по параметру острого минимума используется процедура регулировка шага в такого типа субградиентных методах, аналогичная подходу Б.Т. Поляка [Поляк, 1969]. Известно, что использование в методах градиентного типа шага Б. Т. Поляка довольно популярно (см., например, [Hazan, Kakade, 2019, Loizou et al., 2021]). Совсем недавно предложены и изучены различные современные варианты шага Поляка [Wang et al., 2023, Devanathan, Boyd, 2023, Abdulkhakimov et al., 2023]. При этом однако естественно возникает проблема доступности информации о минимальном значении целевой функции, что ещё более важно для задач с дополнительными ограничениями. В статье проработан этот вопрос и предложен подход к такого типа процедуре регулировки шага при условии с неточной информацией об оптимальном значении целевой функции задачи. Получены условия, про которых для такого типа шагов можно ожидать сходимость метода со скоростью геометрической прогрессии в окрестность множества точных решений. Описана методика повышения скорости работы данного алгоритма в случае задач с многими ограничениями-неравенствами, основанная на отказе от прохода по всем ограничениям. Доказаны оценки качества выдаваемого методом решения для предложенных алгоритмов в зависимости от точности информации о минимальном значении  $f^*$ . Выполненные вычислительные эксперименты, особенно для задач геометрического программирования и проектирования механических конструкций показали хорошую эффективность предложенного метода в решении прикладных задач. Существенный момент в том, что использование предлагаемой в настоящей работе процедуры регулировки шага позволяет при реализации уйти от необходимости знания параметра острого минимума, который на практике часто довольно проблематично оценить. Вообще такого типа шаги потенциально можно применять к любым оптимизационным задачам с ограничениями-неравенствами. Поэтому представляется, что исследованные в статье методы перспективны для использования на классах самых разных минимизационных задач с ограничениями.

## Список литературы

- [Аблаев и др., 2023] Аблаев С. С., Стонякин Ф. С., Алкуса М. С., Гасников А. В. Адаптивные субградиентные методы для задач математического программирования с квазивыпуклыми функциями // Труды Института математики и механики УрО РАН. — 2023. — Т. 29, №. 3. — С. 7–25.
- [Дудов, Осипцев, 2021] Дудов С. И., Осипцев М. А. Характеризация решения задач сильно-слабо выпуклого программирования // Матем. сб. — 2021. — Т. 212, № 6. — С. 43–72.

- [Нестеров, 1989] *Нестеров Ю. Е.* Эффективные методы в нелинейном программировании. — М.: Радио и связь, 1989. — 301 с.
- [Поляк, 1967] *Поляк Б. Т.* Один общий метод решения экстремальных задач // Докл. АН СССР. — 1967. — Т. 174, № 1. — С. 33–36.
- [Поляк, 1969] *Поляк Б. Т.* Минимизация негладких функционалов // Ж. вычисл. матем. и матем. физ. — 1969.— Т. 9, № 3. — С. 509–521.
- [Стонякин и др., 2023] *Стонякин Ф. С., Аблаев С. С., Баран И. В., Алкуса М. С.* Субградиентные методы для слабо выпуклых и относительно слабо выпуклых задач с острым минимумом // Компьютерные исследования и моделирование. — 2023. — Т. 15, № 2. — С. 393–412.
- [Abdulkhakimov et al., 2023] *Abdulkhakimov F., Xiang C., Kamzolov D., Takáč M.* Stochastic gradient descent with preconditioned Polyak step-size // arXiv:2310.02093.
- [Bayandina et al., 2018] *Bayandina A., Dvurechensky P., Gasnikov A., Stonyakin F., Titov A.* Mirror descent and convex optimization problems with non-smooth inequality constraints // Lecture Notes in Mathematics. — 2018. — Vol. 2227. — P. 181–213.
- [Boyd et al., 2007] *Boyd S., Kim S. J., Vandenberghe L., Hassibi A.* A tutorial on geometric programming // Optimization and engineering. — 2007. — Vol. 8. — P. 67–127.
- [Davis et al., 2018] *Davis D., Drusvyatskiy D., Kellie M., Paquette C.* Subgradient methods for sharp weakly convex functions // Journal of Optimization Theory and Applications — 2018.— Vol. 179, P. 962–982.
- [Devanathan, Boyd, 2023] *Devanathan N., Boyd S.* Polyak minorant method for convex optimization // arXiv:2310.07922.
- [Hazan, Kakade, 2019] *Hazan E., Kakade S.* Revisiting the Polyak step size // arXiv:1905.00313.
- [Huang, Lin, 2023] *Huang Y., Lin Q.* Single-loop switching subgradient methods for non-smooth weakly convex optimization with non-smooth convex constraints // arXiv:2301.13314.
- [Lagae, 2017] *Lagae S.* New efficient techniques to solve sparse structured linear systems, with applications to truss topology optimization. — 2017.
- [Lin et al., 2020] *Lin Q., Ma R., Nadarajah S., Soheili N.* A parameter-free and projection-free restarting level set method for adaptive constrained convex optimization under the error bound condition // arXiv:2010.15267.
- [Loizou et al., 2021] *Loizou N., Vaswani S., Laradji I. H., Lacoste-Julien S.* Stochastic Polyak step-size for SGD: An adaptive learning rate for fast convergence // International Conference on Artificial Intelligence and Statistics. — PMLR. 2021. — P. 1306–1314.
- [Nesterov, 2014] *Nesterov Y.* Subgradient methods for huge-scale optimization problems // Mathematical Programming. — 2014. — Vol. 146, No. 1–2. — P. 275–297.
- [Nesterov, Shpirko, 2014] *Nesterov Y., Shpirko S.* Primal-dual subgradient method for huge-scale linear conic problems // SIAM Journal on Optimization. — 2014. — Vol. 24, No. 3. — P. 1444–1457.
- [Wang et al., 2023] *Wang X., Johansson M., Zhang T.* Generalized Polyak step size for first order optimization with momentum // arXiv:2305.12939.